

ОПРЕДЕЛЕНИЕ РЕОЛОГИЧЕСКИХ СВОЙСТВ ЭПОКСИДНОЙ СМОЛЫ ПРИ ДИНАМИЧЕСКИХ ИСПЫТАНИЯХ

B. E. Агеев, Г. И. Быковцев, В. В. Колокольчиков

(Куйбышев)

Обзор исследований реологических свойств материалов при больших скоростях деформирования содержится в [1—4], поэтому ограничимся рассмотрением основных результатов. В [5] обнаружено различие в пределах текучести при статических и динамических испытаниях, что в дальнейшем привело к представлению о динамической диаграмме растяжение — сжатие образца в пластической области, определенной впервые в [6]. Более точные эксперименты обсуждены в [7], где определялась остаточная деформация при соударении стержней, а динамическая диаграмма определялась по методике [8].

В [9, 10], видимо, впервые обнаружено, что в меди волны распространяются с упругими скоростями не только в упругой области, но и за пределом текучести. В последующем эти результаты подтверждены более тонкими экспериментами [11, 12] и на других материалах, что приводит к выводу о необходимости учета влияния скорости пластического деформирования при исследовании волновых процессов. Из многочисленных работ, посвященных изучению влияния скорости деформации, представляются интересными исследования [13, 14], в которых алюминиевые и стальные образцы изучались при сложном напряженном состоянии. В этих работах показано, что в процессе скоростного нагружения второй инвариант тензора напряжений J_2 зависит не только от второго инварианта тензора деформаций I_2 , но и от \dot{I}_2 .

Общие соотношения для сред, чувствительных к скорости деформации, предложены в [15, 16], где для случая сложного напряженного состояния обобщены соотношения, предложенные в [9]. Другой вариант обобщения соотношений Малверна предложен в [17]. Теории, сформулированные в [15—17], содержат некоторые функции, которые необходимо определять экспериментально. В [15] найдены некоторые аппроксимации для этих функций из экспериментальных данных [18], где определена зависимость предела текучести мягкой стали от скорости деформации в диапазоне $0 < \dot{\epsilon} \leq 200 \text{ с}^{-1}$. В [19] изучены законы распространения волн в средах, чувствительных к скоростям пластических деформаций. Ниже предлагается методика измерения реологических свойств материалов, основанная на решениях, полученных в [19]. Эта методика реализована в лабораториях Куйбышевского госуниверситета.

Полные деформации складываются из упругой и пластической частей

$$(1) \quad e_{ij} = e_{ij}^e + e_{ij}^p.$$

Упругие составляющие e_{ij}^e связаны с напряжениями законом Гука

$$(2) \quad \sigma_{ij} = \lambda e_{kk}^e \delta_{ij} + 2\mu e_{ij}^e, \quad e_{ij}^e = \frac{1}{2\mu} s_{ij} + \frac{1 - 2\nu}{E} \sigma_{kk} \delta_{ij},$$

где λ , μ — постоянные Ламэ; ν — коэффициент Пуассона; E — модуль Юнга; $s_{ij} = \sigma_{ij} - (1/3)\sigma_{kk}\delta_{ij}$ — девиатор напряжений.

Для сред, чувствительных к скоростям пластических деформаций, следует положить [20], что поверхность нагрузления зависит от скоростей пластических деформаций

$$(3) \quad f(\sigma_{ij}, e_{ij}^p, \dot{e}_{ij}^p, \chi_i) = 0,$$

где χ_i — некоторые параметры истории пластического деформирования.

Скорости пластических деформаций определяются из ассоциированного закона течения

$$(4) \quad \dot{e}_{ij}^p = \Psi \frac{\partial f}{\partial \sigma_{ij}},$$

где Ψ — неопределенный положительный множитель, уравнение для которого получаем, подставляя (4) в (3):

$$(5) \quad f\left(\sigma_{ij}, e_{ij}^p, \Psi \frac{\partial f}{\partial \sigma_{ij}}, \chi_i\right) = 0.$$

Если $\partial f / \partial \sigma_{ij}$ не зависит от скорости пластических деформаций, то из (5) получим, что $\Psi = \Psi(\sigma_{ij}, e_{ij}^p, \chi_i)$, т. е. Ψ не зависит от e_{ij}^p . В этом случае

из общих соотношений (1)–(4) следуют результаты [15, 16], если положить

$$(6) \quad \Psi = \gamma \langle \Phi(F) \rangle, \quad F = \frac{f(\sigma_{ij}, e_{ij}^p)}{\kappa} - 1, \quad \kappa = \kappa \left(\int_0^t \sigma_{ij} d e_{ij}^p \right).$$

Соотношения, предложенные в [17], получаются, если в (1)–(5) положить

$$(7) \quad \Psi = \gamma \langle \Phi(F) \rangle \frac{1}{\sigma_i}, \quad F = \frac{\sigma_i}{f(e_i)} - 1, \quad f(\sigma_{ij}, e_{ij}^p, \dot{e}_{ij}^p) = \\ = \sigma_i - f(e_i) - \Phi^{-1} \left(\frac{\dot{e}_i^p}{\gamma} \right),$$

здесь γ — коэффициент вязкости; σ_i, e_i — интенсивности девиаторов напряжений и деформаций; \dot{e}_i^p — интенсивность скорости пластической деформации; Φ^{-1} — функция, обратная функции Φ , $\langle \Phi(F) \rangle = \Phi(F)$ при $F > 0$, $\langle \Phi(F) \rangle = 0$ при $F \leq 0$.

При экспериментальном изучении связи между напряжениями и деформациями следует различать две задачи. Первая задача — изучение поведения материала при сколь угодно медленном деформировании $e_{ij} = 0$, т. е. изучение изменения поверхности нагружения. В [15, 16] эта задача сводится к определению $f(\sigma_{ij}, e_{ij}^p)$, в [17] — к определению зависимости $\sigma_i = f(e_i)$. Теория [17] является теорией изотропного упрочнения. Вторая задача — это определение влияния скоростей деформирования, т. е. определение $\Phi(F)$ в рассмотренных выше теориях. Если первая задача хорошо известна и решается в теории пластичности чисто экспериментально, то для решения второй задачи при больших скоростях деформирования возникают дополнительные трудности, связанные прежде всего с разделением влияния сил инерции, которые при этом возникают от влияния скоростей деформирования. Для такого разделения необходимо знать свойства решений уравнений динамики упругопластических сред, чувствительных к скоростям деформирования при достаточно произвольных реологических соотношениях, т. е. при произвольных $f(\sigma_{ij}, e_{ij}^p, \dot{e}_{ij}^p, \chi_i)$ или произвольных $\Phi(F)$ в [15–17]. Некоторые такие свойства изучены в [19], где функция $f(\sigma_{ij}, e_{ij}^p, \dot{e}_{ij}^p, \chi_i)$ принималась в виде

$$(8) \quad (s_{ij} - c e_{ij}^p - \eta \dot{e}_{ij}^p) (s_{ij} - c e_{ij}^p - \eta \dot{e}_{ij}^p) - \frac{2}{3} k^2 = 0.$$

Здесь удобно полагать величины c и k функциями e_{ij}^p, χ_i , которые определяются из испытаний при медленных нагрузлениях, η — функцией интенсивности скоростей пластических деформаций $\dot{e}_i^p = \sqrt{e_{ij}^p \dot{e}_{ij}^p}$, k — предел текучести при растяжении. В [19] показано, что в материалах, чувствительных к скоростям деформирования, могут существовать только два типа волн, распространяющихся с упругими скоростями $\rho c_1^2 = \lambda + 2\mu$, $\rho c_2^2 = \mu$. Этот факт хорошо согласуется с экспериментальными результатами [9–12]. При этом на волнах, распространяющихся со скоростями c_1 , выполняются соотношения

$$(9) \quad [v_i] = \omega v_i, \quad c_1 [\sigma_{ij}] = -\omega (\lambda \delta_{ij} + 2\mu v_i v_j),$$

где v_i — нормаль к фронту волны; ω — интенсивность волны, изменение которой при движении вдоль нормали описывается дифференциальным уравнением

$$(10) \quad \frac{d\omega}{dt} = c_1 \Omega \omega + \frac{\mu}{\rho c_1} [\dot{e}_{ij}^p] v_i v_j,$$

где $[v_i]$, $[\sigma_{ij}]$, $[\dot{e}_{ij}^p]$ — скачки скоростей перемещений, напряжений и скоростей пластических деформаций за фронтом волны; Ω — средняя кривизна волновой поверхности.

На волнах, распространяющихся со скоростью c_2 , выполняются соотношения

$$(11) \quad [\sigma_{ij}] = -\rho c_2 ([v_i] v_j + [v_j] v_i), \quad [v_k] v_k = 0.$$

Величины $[v_i]$ изменяются при движении вдоль нормали к волновой поверхности согласно уравнениям

$$(12) \quad \frac{\delta [v_i]}{\delta (t)} = c_2 \Omega [v_i] + c_2 ([\dot{e}_{ij}^p] v_j - [\dot{e}_{kl}^p] v_k v_l v_i).$$

Наиболее просто экспериментально создать волну (9), поэтому в дальнейшем ограничимся анализом только случая, когда рассматриваемая волна распространяется в покоящуюся среду со скоростью c_1 . За фронтом волны при этом пластические деформации равны нулю и для теории Пежины [15, 16] получаем скорости пластических деформаций в виде

$$(13) \quad \dot{e}_{ij}^p = \gamma \Phi_P(F) s_{ij},$$

где $F = -1 + \sqrt{3s_{ij}s_{ij}/2k^2}$, т. е. в начальном состоянии поверхность текучести является кругом Мизеса. Для теории Калисского получаем

$$(14) \quad \dot{e}_{ij}^p = \gamma \Phi_K(F) s_{ij} / \sqrt{s_{kl}s_{kl}}.$$

Из (13), (14) очевидно, что функции $\Phi_P(F)$ и $\Phi_K(F)$, входящие в обе теории, связаны соотношениями

$$(15) \quad (F + 1) \sqrt{\frac{2}{3}} k \Phi_P(F) = \Phi_K(F).$$

Поэтому в дальнейшем ограничимся рассмотрением только соотношений (13).

Если принять, что поверхность нагружения имеет вид (8), то из (3), (4) получаем для скоростей пластических деформаций уравнение

$$(16) \quad s_{ij} = \frac{\sqrt{\frac{2}{3}} k \dot{e}_{ij}^p}{\sqrt{\dot{e}_{kl}^p \dot{e}_{kl}^p}} + \eta \dot{e}_{ij}^p.$$

Соотношения (16) определяют девиатор напряжений через скорости пластических деформаций, а соотношения (13), наоборот, определяют скорости пластических деформаций через напряжения. Так как перед фронтом волны $\sigma_{ij} = 0$, то из соотношений (9) следует, что за фронтом волны будут выполняться соотношения

$$(17) \quad \sigma_{ij} = \frac{\omega}{c_1} (\lambda \delta_{ij} + 2\mu v_i v_j), \quad s_{ij} = \frac{2\mu \omega}{c_1} \left(v_i v_j - \frac{1}{3} \delta_{ij} \right), \quad \sigma_i = \frac{2\mu \omega}{c_1} \sqrt{\frac{2}{3}}.$$

Скачки скоростей пластических деформаций для модели [15, 16] определяются из соотношений (13), откуда

$$(18) \quad [\dot{e}_{ij}^p] = -\gamma \Phi_P(F) \frac{2\mu \omega}{c_1} \left(v_i v_j - \frac{1}{3} \delta_{ij} \right), \quad F = \frac{2\mu \omega}{k c_1} - 1.$$

Для поверхности нагружения (8) скорости пластических деформаций за фронтом волны определяются из соотношений (16), откуда

$$(19) \quad \frac{2\mu \omega}{c_1} \left(v_k v_l - \frac{1}{3} \delta_{kl} \right) = \frac{\sqrt{\frac{2}{3}} k \dot{e}_{kl}^p}{\dot{e}_i^p} + \eta (\dot{e}_i^p) \dot{e}_{kl}^p.$$

Из (19) для определения \dot{e}_i^p получаем уравнение

$$(20) \quad \dot{e}_i^p \left(\sqrt{\frac{2}{3}} \frac{k}{\dot{e}_i^p} + \eta(\dot{e}_i^p) \right) = \sqrt{\frac{2}{3}} \frac{2\mu\omega}{c_1}$$

и для определения пластических деформаций выражение

$$(21) \quad [\dot{e}_{kl}^p] = -\sqrt{\frac{3}{2}} \dot{e}_i^p \left(v_k v_l - \frac{1}{3} \delta_{kl} \right),$$

где \dot{e}_i^p выражается через ω по уравнению (20). Если в материале экспериментально реализовать плоскую волну нагрузки и замерить $\omega(x)$ — интенсивность волны в момент прохождения фронта точки с координатой x —, то, используя соотношения (10), получим

$$(22) \quad \frac{d\omega}{dx} = \frac{\mu}{\rho c_1^2} [\dot{e}_{ij}^p] v_i v_j.$$

При обработке экспериментальных данных по теории [15, 16] удобно построить значения $d\omega/dx$ как функции $F = 2\mu\omega/kc_1 - 1$. Тогда из соотношений (22), (18) получаем

$$(23) \quad \gamma \Phi_P(F) = -\frac{3\rho c_1^2}{2\mu k(F+1)} \frac{d\omega}{dx}.$$

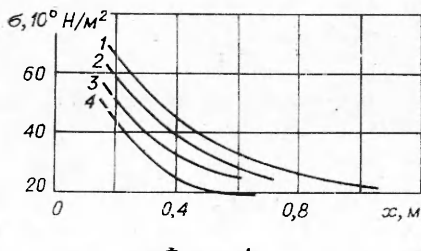
При обработке экспериментальных данных по теории с поверхностью нагрузления (8) удобно построить зависимость ω от $-\frac{\rho c_1^2}{\mu} \sqrt{\frac{3}{2}} \frac{d\omega}{dx}$, так как из соотношений (22), (21) следует

$$\dot{e}_i^p = -\frac{\rho c_1^2}{\mu} \sqrt{\frac{3}{2}} \frac{d\omega}{dx}.$$

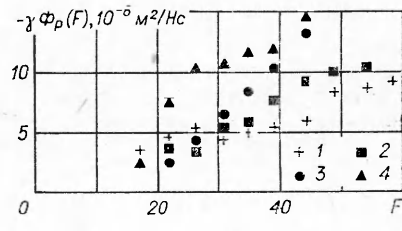
Тогда из эксперимента определяется значение ω как функции \dot{e}_i^p , и из (20) получаем

$$(24) \quad \eta(\dot{e}_i^p) = \sqrt{\frac{2}{3}} \left(\frac{2\mu\omega(\dot{e}_i^p) - c_1 \kappa}{c_1 \dot{e}_i^p} \right).$$

Эксперимент проводился на образцах из эпоксидной смолы ЭД-6, отверженной малеиновым отвердителем. Образцы изготавливались путем заливки смеси смолы с отвердителем в стеклянную трубку с укрепленными по оси датчиками давления. В качестве датчиков давления использовались таблетки титаната бария диаметром 3 мм и толщиной 0,8 мм, предварительно оттарированные по методике [21]. Размеры образца: диаметр 40 мм, длина 1200 мм. Образец нагружался ударной волной, образованной при электрическом взрыве алюминиевой фольги, наклеенной на торце образца. Подрыв фольги осуществлялся с помощью разряда батареи, состоящей из 6 конденсаторов ИК-100-0,25 через ударный механический разрядник с обострителем. Длительность и начальное давление в импульсе варьировались путем изменения толщины подрываемой



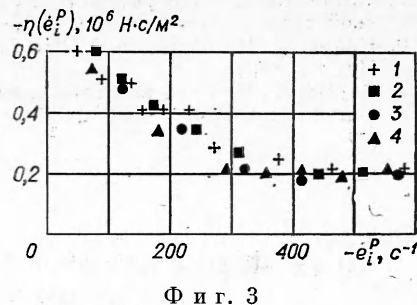
Фиг. 1



Фиг. 2

фольги и коммутации конденсаторов в батарее. Сигналы с датчиков регистрировались на осциллографе С1-33. Точность измерения давления по сквозному каналу не хуже 10 %. Положение датчиков по длине образца измерялось с точностью $\pm 0,2$ мм.

На фиг. 1 показано изменение давления в импульсе по длине образца для четырех случаев: 1 — энергия разряда 7,5 кДж, 2 — 6,2 кДж, 3 — 5,0 кДж, 4 — 3,7 кДж. Длительность импульса одинаковая — $2,5 \cdot 10^{-5}$ с. Исходные данные для построения зависимостей (23), (24) следующие: $c_1 = 2060$ м/с, $\rho = 1220$ кг/м³, $k = 2,7 \cdot 10^6$ Н/м², $c_2 = 1140$ м/с, $v = 0,39$. На фиг. 2 показана зависимость (23), на фиг. 3 — зависимость (24). Обозначения расчетных точек соответствуют четырем случаям нагружения: 1—4 соответствуют энергиям разряда 7,5; 6,2; 5; 3,7 кДж. Значительно меньший разброс значений на фиг. 3 означает, что результаты обработки экспериментальных данных по теории с поверхностью нагружения (8) менее чувствительны к ошибкам определения давления в импульсе.



Фиг. 3

Поступила 6 II 1981

ЛИТЕРАТУРА

- Рахматулин Х. А., Шапиро Г. С. О распространении плоских упругопластических волн. — ПММ, 1952, т. 16, вып. 3.
- Рахматулин Х. А., Демьянов Ю. А. Прочность при интенсивных кратковременных нагрузках. М., 1961.
- Васин Р. А., Ленский В. С., Ленский Э. В. Динамические зависимости между напряжениями и деформациями. — В сб.: Проблемы динамики упругопластических сред. Сер. Механика. Новое в зарубежной науке/Под ред. Г. С. Шапиро. М.: Мир, 1975.
- Новацкий В. К. Волновые задачи теории пластичности. М.: Мир, 1975.
- Hopkinson B. Flow limits at static and dynamic tests. — Proc. Roy. Soc., ser. A. 1905, vol. LXXIV, p. 498.
- Рахматулин Х. А. К проблеме распространения волн в упругопластической среде. — В сб.: Институт механики АН СССР, 1949.
- Надеева Р. И. Об определении динамической зависимости между напряжениями и деформациями. — Вестн. МГУ, 1953, № 10.
- Ленский В. С. Метод построения динамической зависимости между напряжениями и деформациями по распределению остаточных деформаций. — Вестн. МГУ, 1951, № 5.
- Malvern L. E. The propagation of longitudinal waves of plastic deformations in a bar of material exhibiting a strain rate effect. — J. Appl. Mech., 1951, vol. 18, N 2.
- Sternglas E. S., Stuart O. A. An experimental study of the propagation of transient longitudinal deformations in elastoplastic media. — J. Appl. Mech., 1953, vol. 20, N 3.
- Малышев Б. М. Распространение догрузочных импульсов по натянутой проволоке. — Изв. АН СССР. ОТН, мех., машиностр., 1960, № 2.
- Малышев Б. М. Экспериментальное исследование распространения упругопластических волн. — ПМТФ, 1961, № 2.
- Lindholm U. S. Dynamic deformation of metals. — In: Behavior of Materials Under Dynamic Loading. N. Y., 1965.
- Lindholm U. S. Some experiments in dynamic plasticity under combined stress. — In: Sympos. on the Mechanical Behavior of Materials under Dynamic Loads. San Antonio, Texas, 6—8 sept., 1967.
- Perzyna P. The constitutive equations for rate sensitive plastic materials. — Quart. Appl. Math., 1963, vol. 20, N 1.
- Perzyna P. The constitutive equations for work-hardening and rate sensitive plastic materials. — Proc. Vibr. Probl., 1963, vol. 4, N 4.
- Kaliski S. On certain equations of dynamics of an elastic/viscoplastic body. The strain hardening properties and the influence of strain rate. — Bull. Acad. Sci. Ser. Sci Techn., 1963, vol. 11, N 7.
- Clark D. E., Duwes P. E. The influence of strain rate on some tensile properties of steel. — Proc. Amer. Soc. Testing Materials, 1950, vol. 50.

19. Быковцев Г. И., Вервейко Н. Д. О распространении волн в упруговязкопластической среде.— Инж. журн. МТТ, 1966, № 4.
20. Ивлев Д. Д., Быковцев Г. И. Теория упрочняющегося пластического тела. М.: Наука, 1971.
21. Баулин Н. Н. Пьезоэлектрический преобразователь для измерения больших переменных давлений.— ПТЭ, 1978, № 5.

УДК 539.376

О РЕШЕНИИ НЕКОТОРЫХ ЗАДАЧ ТЕОРИИ ПОЛЗУЧЕСТИ МЕТОДОМ МАЛОГО ПАРАМЕТРА

И. Ю. Цвелодуб, А. А. Шваб

(Новосибирск)

В последнее время метод малого параметра нашел широкое применение при решении ряда сложных упругопластических задач. При этом исходят из известного аналитического решения более простых (плоских, осесимметричных, центрально-симметричных) задач и путем выделения некоторых малых величин ищут решения вблизи этих известных состояний. Большое количество таких задач приведено в [1]. Однако в теории ползучести указанный метод не получил большого распространения, что объясняется отсутствием точных аналитических решений даже для простейших задач. Исключение составляет случай установившейся ползучести, когда упругими деформациями пренебрегают, а скорости деформаций ползучести определяются только напряженным состоянием и не зависят от истории нагружения [2]. Решение задач по данной схеме эквивалентно решению с использованием уравнений физически нелинейной упругости. Некоторые из таких задач также рассмотрены в [1]. Учет упругих деформаций и учет истории нагружения приводят к существенным усложнениям, не позволяющим получить аналитические решения. Поэтому для решения таких задач применяются известные численные методы (конечных разностей, конечных элементов). Однако использование последних связано со значительными трудностями при отладке программ и с большим объемом вычислений. С другой стороны, решение указанных задач можно получить, применяя метод малого параметра и простейшие численные процедуры на ЭВМ (например, вычисление определенных интегралов).

В качестве примера рассмотрим задачу о деформировании цилиндрической трубы с внутренним и внешним радиусами R_1 и R_2 , находящейся в начальный момент в естественном состоянии, при плоской деформации и следующих граничных условиях:

$$\sigma_r(R_1) = \sigma_{r\theta}(R_1) = 0, \quad \sigma_r(R_2) = P(1 - \delta \cos 2\theta), \quad \sigma_{r\theta}(R_2) = P\delta \sin 2\theta,$$

где σ_r , $\sigma_{r\theta}$ — радиальное и касательное напряжения; P , δ — константы ($0 < \delta < 1$); θ — угол полярной системы координат. Заметим, что при $R_2 \rightarrow \infty$ указанные условия соответствуют растяжению бесконечной плоскости с круговым отверстием, свободным от нагрузок, двумя взаимно перпендикулярными усилиями, приложенными на бесконечности [1]. Материал трубы будем считать изотропным вязкоупругим и несжимаемым как по упругим, так и по вязким деформациям, для которого тензор деформаций представим в виде суммы тензоров упругих деформаций и деформаций ползучести; вследствие чего получим [1]

$$(1) \quad \varepsilon_\theta = \dot{\varepsilon}_\theta - \varepsilon_r = \frac{3}{4} \frac{u}{E} + \varepsilon_{\theta}^c, \quad \varepsilon_{r\theta} = \frac{3}{4} \frac{v}{E} + \varepsilon_{r\theta}^c,$$

где $u = \sigma_\theta - \sigma_r$; $v = 2\sigma_{r\theta}$; σ_θ — окружное напряжение; ε_{θ}^c , $\varepsilon_{r\theta}^c$ — окружная и касательная компоненты деформации ползучести; E — модуль Юнга. Для простоты будем предполагать, что компоненты скорости деформации определяются только компонентами напряжений и являются степенными функциями последних [1, 2]:

$$(2) \quad \eta_\theta = \dot{\varepsilon}_\theta^c = \frac{3}{4} B (u^2 + v^2)^{\frac{n-1}{2}} u, \quad \eta_{r\theta} = \dot{\varepsilon}_{r\theta}^c = \frac{3}{4} B (u^2 + v^2)^{\frac{n-1}{2}} v,$$

где B , n — константы ползучести.